

# 自然河川における乱流計測

秋田大学 正員 ○ 石井 千万太郎

学生員 漆田 幸吉

## I) まえがき

レイノルズ応力、物質の輸送・拡散などを評価しようとするとき、流れの中に存在する不規則な流速変動に関する情報が必要となる。従来得られていゝものは、ほとんど単純化された水路(例へば、一様中、平坦な床など)の流速変動に関するものである。しかしながら、自然河川の場合、meanderingのような平面的水路の不規則性、ripples & dunes, flat bed, antidunes といふ河床形の不規則性の乱れの構造への働きかけが加わるので、従来得られている結果とは相当異なり、たおそれの構造を示すと思われる。

著者らはプロペラ型流速計(CM-2型電気流速計)を用いて昭和46年9月30日～10月1日において、雄物川支流の岩見川本田橋地点で測定し、その資料を統計的に解析した。(主としてスペクトル解析)

本文は著者らのプロペラ型流速計を用いての測定法と解析法を紹介し、さらに資料の解析の結果の考察を行なつたものである。

## II) プロペラ型流速計について<sup>1)</sup>

自然河川の測定では、プロペラ型流速計が次のようないくつかの利点と多くの用いられている。

- (1) 測定条件の悪い自然河川の測定に際してもその使用に耐えるだけの堅牢性をもつ。(2) 比較的の安価である。(3) 附属計器がportableである。(4) 電気系統の構造が簡単なのでキャリブレーションが容易している。しかしながら次のようないくつかの欠点を持つので解析を進め場合、留意する必要がある。  
① プロペラの周波数特性は開水路乱れに存在する高周波変動に十分応答しない。  
② プロペラの大きさが乱れのミクロスケールに比し大きいので、測定される速度変動は空間的に平均化されたものになる。

## III) 測定

測定は雄物川支流の岩見川本田橋地帯(雄物川本川との合流点から約2km上流)で昭和46年9月30日と10月1日の両日行なつた。(Fig. 1)

測定の方法はFig. 2に示すように、本田橋の上から左下にアンカーブロックをつけ、流速計をロード岸で吊しつぶら降し、まずアンカーブロックを所定の位置に据え付ける。その後水深方向の流速計の位置は滑車を利用して自由に変えられる。流れが速い場合、流速計の位置の固定が問題となるが、アンカ

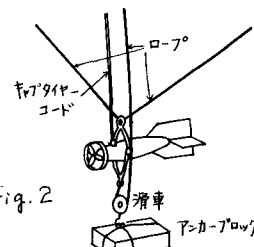


Fig. 2

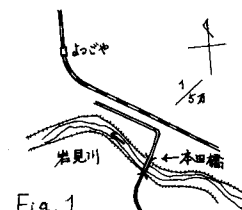


Fig. 1

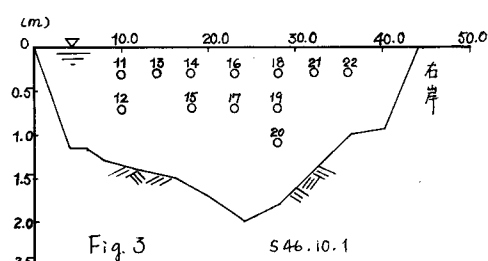


Fig. 3

一グロッソと橋上の2点の計3点からローラーによって固定された。Table-1に測定の概略を示す。

Fig. 3は河道横断面内のN0.11~22の位置を示す。

Table-1

月日	No.	流速計	記録計	観測時間	水面・水深	河床・水深	河床の状態
9/30	1~4	CM-2型	EPR-2TD型	15分	1/2000	1/500	不明
10/1	11~22	電気流速計 ホリ コーグー	—	15分	1/2000	1/500	砂州比較的の平坦

Fig. 4にデータ処理の系統図を略記した。

(1) 読み取り間隔について

速度変動の最大周波数を  $f_c$  とすると、スペクトル解析

のエイリアシングを避けるため  $h \leq \frac{1}{2}f_c$  とするが、プロペラ流速計では、その寸法や慣性によるスペクトルの高周波切断が行はれるため、計器の特性から読み取り間隔が制約されることになる。さらに著者らは記録計として用いた Pen Recorder の紙送り速度と読み取りの都合から  $h = 2/3\text{sec}$  とした。これは  $f_c = 0.75 \text{ cycle/sec}$  以上の高周波切断を示す。

④ 岩佐・今本による“プロペラの慣性によるプロペラの周波数応答”的研究<sup>4)</sup>から

$$h / \tau_E \leq 10^{-1}, h > \bar{U} \quad (\tau_E: \text{Euler's Integral Time scale}, \bar{U}: \text{平均化時間}) \cdots (1)$$

のこときプロペラの慣性の影響が無視されるとしている。

⑤ またプロペラの空間平均化の影響に対する Schuf の研究<sup>5)</sup>では

$$L_x / D \geq 3.5 \quad (L_x: \text{マクロスケール}, D: \text{プロペラの径}) \cdots (2)$$

のことき空間平均化の影響は無視できるとしている。さらに石原・余越<sup>1)</sup>らは

$$f_c \leq \bar{U} / D \quad (f_c: \text{解析可能な最高周波数}, \bar{U}: \text{平均流速}) \cdots (3)$$

としている。

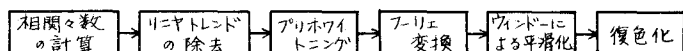
本測定において  $\tau_E \approx 8\sim30\text{sec}$ ,  $L_x \approx \frac{400}{\sim 500 \text{cm}}$ ,  $D = 14\text{cm}$  との  $\bar{U} = \frac{3}{2}\text{sec}$  は (1)~(3) を満足する。  
(2) スペクトル解析<sup>2), 3)</sup>

$h = \frac{3}{2}\text{sec}$ ,  $N$  (データ総数) = 1350 (900sec),  $m$  (最大ラグ) =  $N/10 = 135$  (90sec) として、Fig. 5 に示すように Tukey の方法に従いスペクトルの計算を行なった。

\* その他統計量の解析法

Fig. 5

については省略する。



\*\* 以上の解析による結果ならびにその考察については講演時に発表する。

謝辞 測定に際し、色々と便宜をおはがらい下さった秋田県河川課・東北地建の方々、また測定を手伝っていただいた、秋田大学土木科の技官・院生、さらに計算に際し色々と御助言をいただいた、

北海道大学河川研究室の方々に深く感謝致します。

### 参考文献

1) James Patrick Bennett ; Turbulence Measurement with a Propeller Flow Meter, Colorado State Univ., Labs.

2) 応用水理学下 II 本間仁編 (丸善) P. 91-137

3) R. B. Blackman and J. W. Tukey ; The Measurement of Power Spectra, Dover Publication, Inc.

4) Iwasa, Y. and Imamoto, H. ; Turbulence measurement by means of small current meter in free surface flow

Proc. 12th Congr. IAHR  
Vol. 2, 293~290